

AUTOREFERAT

1. IMIĘ I NAZWISKO

Panayotis Smyrnelis

2. POSIADANE DYPLOMY, STOPNIE NAUKOWE LUB ARTYSTYCZNE

- **Doktor matematyki**, Uniwersytet Arystotelesa w Salonikach (Grecja), lipiec 2012, uzyskana ocena: 'Celujący'.

Rozprawa doktorska pt. *Elliptic Systems of Partial Differential Equations with mixed boundary conditions*, promotorzy: prof. dr. Michel Marias i prof. dr. Nicholas Alikakos.

- **Dyplom z kompozycji muzycznej**, Schola Cantorum (Paryż, Francja), 2004.
- **Magister analizy, geometrii i modelowania**, Uniwersytet Piotra i Marii Curie (Paryż VI) (Francja), 1997.

Praca magisterska pt. *Central manifolds and Hopf bifurcations*, promotor: prof. dr. F. Aribaud.

3. INFORMACJA O DOTYCHCZASOWYM ZATRUDNIENIU W JEDNOSTKACH NAUKOWYCH LUB ARTYSTYCZNYCH

- Baskijskie Centrum Matematyki Stosowanej, grudzień 2019–sierpień 2020, i styczeń 2021–obecnie Marie Skłodowska-Curie Individual Fellowship

- Instytut Matematyczny Polskiej Akademii Nauk, październik 2018–listopad 2019, i wrzesień 2020–grudzień 2020

Adiunkt

- Centrum Modelowania Matematycznego, Uniwersytet Chile, sierpień 2015–wrzesień 2018
- Post-doc.

- Uniwersytet w Atenach (Grecja), październik 2012–czerwiec 2015

Post-doc.

- Instytut Technologiczny w Pireusie (Grecja), październik 2008–czerwiec 2011

Wykładowca

4. OMÓWIENIE OSIĄGNIĘĆ, O KTÓRYCH MOWA W ART. 219 UST. 1 PKT. 2

Cykl powiązanych tematycznie artykułów naukowych pod wspólnym tytułem

Równania różniczkowe dotyczące przejść fazowych, (Differential equations of phase transition type).

Cykl składa się z następujących artykułów:

- (S1) P. Antonopoulos, **P. Smyrnelis**: On minimizers of the Hamiltonian system $u'' = \nabla W(u)$, and on the existence of heteroclinic, homoclinic and periodic orbits. *Indiana University Mathematics Journal* **65** No. 5 (2016) pp.1503–1524.

- (S2) **P. Smyrnelis**: Minimal heteroclinics for a class of fourth order O.D.E. systems. *Nonlinear Analysis*, **173** (2018) pp. 154–163.
- (S3) M. G. Clerc, J. D. Dávila, M. Kowalczyk, **P. Smyrnelis**, E. Vidal-Henriquez: Theory of light-matter interaction in nematic liquid crystals and the second Painlevé equation. *Calculus of Variations and PDEs* (2017) **56**:93, DOI 10.1007/s00526-017-1187-8.
- (S4) P. Bates, G. Fusco, **P. Smyrnelis**: Multiphase solutions to the vector Allen-Cahn equation: crystalline and other complex symmetric structures. *Archive for Rational Mechanics and Analysis* **225** No. 2, pp. 685–715 (2017).
- (S5) M. G. Clerc, M. Kowalczyk, **P. Smyrnelis**: The connecting solution of the Painlevé phase transition model. *Annali della Scuola Normale Superiore di Pisa, Classe di Scienze*, Vol. **XXI**, issue special (2020), pp. 977–998.
- (S6) **P. Smyrnelis**: Vortex filament solutions in the Ginzburg-Landau-Painlevé theory of phase transition. *Journal de Mathématiques Pures et Appliquées*, <https://doi.org/10.1016/j.matpur.2021.05.003> (2021).

Poniżej opisujemy wspomniane osiągnięcia.

4.1. Wprowadzenie do obszaru badawczego.

4.1.1. *Model przejścia fazowego Allena-Cahna*. Najprostszy model przejścia fazowego jest zadany przez r.r.z. Allena-Cahna:

$$(4.1) \quad u'' = u^3 - u, \quad \text{w } \mathbb{R},$$

które można inaczej zapisać

$$(4.2) \quad u''(x) = W'(u(x)) \quad \text{w } \mathbb{R},$$

gdzie $W(u) = \frac{1}{4}(u^2 - 1)^2$ jest podwójną studnią potencjału.

Strukturę rozwiązań (4.1) można łatwo zrozumieć patrząc na płaszczyznę fazową (4.1). W tym modelu u opisuje ułamek masowy dwóch faz substancji (np. stop metali) i przyjmuje wartości w przybliżeniu $+1$ lub -1 dla czystych faz. Równanie (4.1) ma strukturę wariacyjną. Niech

$$(4.3) \quad E_{AC}(u, (a, b)) := \int_a^b \left(\frac{1}{2}|u'|^2 + \frac{1}{4}(u^2 - 1)^2 \right)$$

będzie energią Allena-Cahna związaną z (4.1). Aby zminimalizować E_{AC} należy osiągnąć właściwą równowagę między wkładami energii kinetycznej $\frac{1}{2}|u'|^2$, a potencjałem. Z jednej strony składnik $\frac{1}{2}|u'|^2$ powstrzymuje u przed dużymi wahaniami, natomiast z drugiej strony potencjał $W(u) = \frac{1}{4}(u^2 - 1)^2$ wymusza, aby punkt minimalny znajdował się blisko jego globalnego minimum ± 1 .

Jasne jest, że trywialne rozwiązania ± 1 są dwoma globalnymi punktami minimalnymi E_{AC} . Dlatego bardziej istotne jest zbadanie istnienia *lokalnych punktów minimalnych*, które nazywane są również rozwiązaniami *minimalnymi*. Podczas gdy rozwiązania (4.1) są punktami krytycznymi E_{AC} , rozwiązanie minimalne u równania (4.1) spełnia silniejszy warunek:

$$E_{AC}(u, \text{supp } \phi) \leq E_{AC}(u + \phi, \text{supp } \phi)$$

dla wszystkich $\phi \in C_0^\infty(\mathbb{R})$ (tzn. każda perturbacja u ze zwartym nośnikiem ma energię większą bądź równą). Okazuje się, że z dokładnością do translacji i zamiany x na $-x$, jedynym minimalnym rozwiązaniem (4.1) jest *orbita heterokliniczna* $e(x) = \tanh(x/\sqrt{2})$ łącząca w $\pm\infty$ dwie fazy ± 1 .

O wiele bardziej wymagającym problemem jest opisanie wszystkich ograniczonych rozwiązań r.r.cz. Allena-Cahna:

$$(4.4) \quad \Delta u = u^3 - u, \quad \text{w } \mathbb{R}^n$$

związanego z funkcjonałem

$$(4.5) \quad E_{AC}(u, \Omega) := \int_{\Omega} \left(\frac{1}{2} |\nabla u|^2 + \frac{1}{4} (u^2 - 1)^2 \right), \quad \Omega \subset \mathbb{R}^n.$$

De Giorgi w 1978 [15] zasugerował uderzające porównanie z teorią powierzchni minimalnej, które doprowadziło do znaczących postępów w równaniach różniczkowych cząstkowych i rachunku wariacyjnym, przedstawiając następującą hipotezę dotyczącą ograniczonych rozwiązań na \mathbb{R}^n :

Hipoteza (De Giorgi). Niech $u \in C^2(\mathbb{R}^n)$ będzie rozwiązaniem (4.4) takim, że

- (i) $|u| < 1$,
- (ii) $\frac{\partial u}{\partial x_n} > 0$ dla wszystkich $x \in \mathbb{R}^n$.

Czy prawdą jest, że wszystkie poziomice u są hiperpłaszczyznami, przynajmniej dla $n \leq 8$?

Związek z problemem Bernsteina dla grafów minimalnych jest powodem, dla którego $n \leq 8$ pojawia się w sformułowaniu hipotezy. Szczegółowy opis można znaleźć w artykułach popularnonaukowych Fariny i Valdinoci [18] oraz Savina [40]. Ghoussoub i Gui udowodnili hipotezę w [21] dla $n = 2$, Ambrosio i Cabré w [7] dla $n = 3$, a Savin w [39] dla $4 \leq n \leq 8$ przy założeniu dodatkowego warunku

$$(4.6) \quad \lim_{x_n \rightarrow \pm\infty} u(x_1, \dots, x_n) = \pm 1.$$

Jeśli odrzucimy wymóg monotoniczności oraz (4.6) i zapytamy o strukturę rozwiązań minimalnych¹ (4.4), to wiemy z [39], że dla $n \leq 7$ każde rozwiązanie minimalne u równania (4.4) jest albo trywialne, tj. $u \equiv \pm 1$ albo jednowymiarowe, tj. $u(x) = e((x - x_0) \cdot \nu)$ dla pewnego $x_0 \in \mathbb{R}^n$ i pewnego wektora jednostkowego $\nu \in \mathbb{R}^n$. Stąd orbita heterokliniczna e równania (4.1) odgrywa kluczową rolę dla wszystkich rozwiązań (4.4).

W celu skonstruowania łączących rozwiązań równania (4.4) należy nałożyć dodatkowe wymagania. Dla przykładu, gdy $n = 2$, to (4.4) posiada jednoznaczne *siodłowe* rozwiązanie u (por. [14]) spełniające następujące własności:

- $u(x_1, x_2)$ ma ten sam znak co iloczyn $x_1 x_2$,
- u jest funkcją nieparzystą względem x_1 i x_2 ,
- $\lim_{x_1 \rightarrow \infty} u(x_1, x_2) = e(x_2)$.
- $\lim_{\lambda \rightarrow \infty} u(\lambda \cos \theta, \lambda \sin \theta) = 1, \forall \theta \in (0, \pi/2)$.

Przykład ten zarysowuje również hierarchiczną strukturę (4.4), ponieważ biorąc granicę rozwiązania w nieskończoności wzdłuż pewnych kierunków otrzymywane są rozwiązania o niższych wymiarach (por. Chapter 8 (**S7-Book**)).

4.1.2. *Modele przejść fazowych w przypadku wektorowym.* W przypadku skalarnym $m = 1$ widzieliśmy, że nieliniowością modelu jest podwójna studnia potencjału $W(u) = \frac{1}{4}(u^2 - 1)^2$. Ponadto problem skalarny modeluje współlistnienie dwóch faz i wiąże się z faktem, że z punktu widzenia minimalizacji obwodu interfejsu hiperpłaszczyzny optymalnie dzielą przestrzeń na dwie części, przynajmniej w niskich wymiarach.

W przypadku wektorowym $m \geq 2$ zachowanie rozwiązań równania

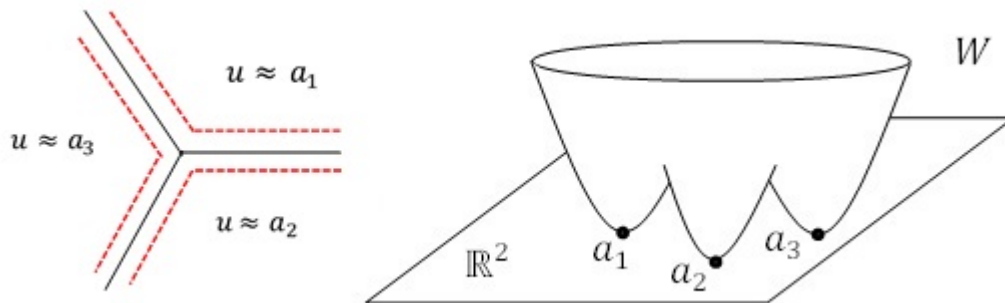
$$(4.7) \quad \Delta u(x) = \nabla W(u(x)), \quad u : \mathbb{R}^n \rightarrow \mathbb{R}^m, \quad W \in C^2(\mathbb{R}^m, [0, \infty))$$

ściśle zależy od stopnia spójności zerowej poziomicy potencjału, $A := \{u \in \mathbb{R}^m : W(u) = 0\}$.

Z jednej strony *wielokrotne studnie potencjału* $W : \mathbb{R}^m \rightarrow [0, \infty)$ znikające na skończonym zbiorze $A = \{a_1, a_1, \dots, a_N\}$ dla $N \geq 3$, są istotne przy modelowaniu współlistnienia trzech lub więcej faz [33,

¹Ponownie, powiemy, że rozwiązanie u jest minimalne jeśli $E_{AC}(u, \text{supp } \phi) \leq E_{AC}(u + \phi, \text{supp } \phi)$ dla wszystkich $\phi \in C_0^\infty(\mathbb{R}^n)$.

§1.7] w substancji. Odpowiednie obiekty opisujące *interfejsy* oddzielające regiony, w których $u \approx a_i$, to pojedyncze minimalne stożki (por. Rysunek 1). Te na rysunku są minimalne i nieorientowalne. W ogólności mogą mieć strukturę cylindryczną i być rozwarstwione na stożki o niższych wymiarach. Ze względu na analogię do równania skalarnego (4.4) układ (4.7) z W jako wielokrotną studnią potencjału jest nazywany *równaniem wektorowym Allena-Cahna*.



RYSUNEK 1. Interfejsy punktu potrójnego, które modelują współlistnienie trzech faz dla potrójnej studni potencjału W (po prawej stronie).

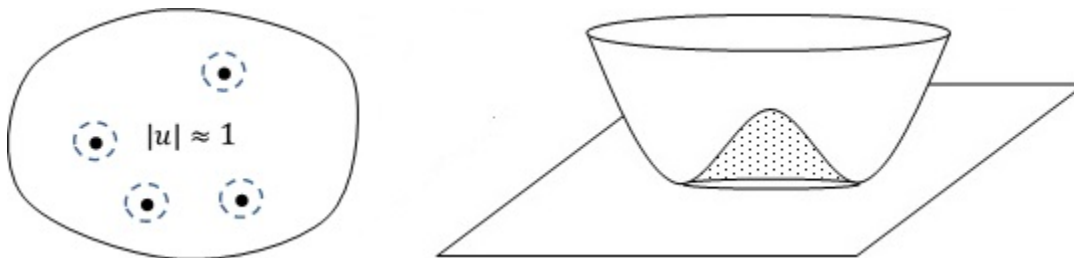
Z kolei, w przypadku gdy $\{W = 0\}$ jest zbiorem spójnym, problem jest mniej geometryczny, a związany zamiast tego z funkcjami harmonicznymi. Funkcjonały postaci

$$(4.8) \quad E_{GL}(u, \Omega) := \int_{\Omega} \left(\frac{1}{2} |\nabla u|^2 + \frac{1}{4} (|u|^2 - 1)^2 \right), \quad u : \mathbb{R}^n \supset \Omega \rightarrow \mathbb{R}^m$$

zostały pierwotnie wprowadzone przez V. Ginzburga and L. Landaua do badania problemów przejść fazowych występujących w nadprzewodnictwie; podobne modele są również stosowane w nadcieczach. Ponieważ studnia potencjału $W(u) = \frac{1}{4}(|u|^2 - 1)^2$ to \mathbb{S}^{n-1} , zachowywanie się rozwiązań układu Ginzburga-Landaua (który jest równaniem Eulera-Lagrange'a związanym z funkcjonałem E_{GL}):

$$(4.9) \quad \Delta u(x) = |u|^2 u - u, \quad u : \mathbb{R}^n \rightarrow \mathbb{R}^m$$

różni się znacznie od przypadku, gdy W jest wielokrotną studnią potencjału (tzn. $\{W = 0\}$ jest zbiorem skończonym). Istotnie, dla rozwiązań $u : \mathbb{R}^2 \rightarrow \mathbb{R}^2$ układu (4.9) obszar przejścia fazowego, gdzie $|u| < 1 - \epsilon$, występuje w małych otoczeniach punktów osobliwych zwanych *wirami* (zob. Rysunek 2). Równanie (4.9) było intensywnie badane ze względu na jego zastosowania fizyczne i bogactwo matematyczne – zobacz monografie [9, 29, 38] i zawarte w nich odniesienia.



RYSUNEK 2. Po lewej, wiry (tzn. miejsca zerowe) i obszar przejścia fazowego rozwiązania $u : \Omega \rightarrow \mathbb{R}^2$ równania (4.9). Po prawej, potencjał Ginzburga-Landaua.

Jeśli chodzi o *minimalne* rozwiązania, pierwszy przykład dwuwymiarowego minimalnego rozwiązania $u : \mathbb{R}^2 \rightarrow \mathbb{R}^2$ układu (4.7) z podwójną studnią potencjału $W : \mathbb{R}^2 \rightarrow [0, \infty)$ podał Schatzman [41]. Zakładając, że $\{W = 0\} = \{a^-, a^+\}$ oraz, że istnieją (z dokładnością do translacji) *dokładnie* dwie minimalne heterokliniczne orbity $e^- : \mathbb{R} \rightarrow \mathbb{R}^2$ i $e^+ : \mathbb{R} \rightarrow \mathbb{R}^2$:

$$(4.10) \quad e_{xx}^\pm(x) = \nabla W(e^\pm(x)), \quad \lim_{x \rightarrow \pm\infty} e^\pm(x) = a^\pm,$$

które ponadto są niezdegenerowane², Schatzman skonstruował dwuwarstwowe minimalne rozwiązanie $u : \mathbb{R}^2 \rightarrow \mathbb{R}^2$ równania $\Delta u(t, x) = \nabla W(u(t, x))$ takie, że

$$(4.11a) \quad \forall x \in \mathbb{R} : \lim_{t \rightarrow \pm\infty} u(t, x) = e^\pm(x - m^\pm) \text{ dla pewnych stałych } m^\pm \in \mathbb{R},$$

$$(4.11b) \quad \forall t \in \mathbb{R} : \lim_{x \rightarrow \pm\infty} u(t, x) = a^\pm.$$

Oznacza to, że rozwiązanie u łączy w $t \rightarrow \pm\infty$ dwie minimalne orbity heterokliniczne e^\pm , natomiast w $x \rightarrow \pm\infty$ łączy dwa trywialne rozwiązania a^\pm . Co więcej, ze względu na niezdegenerowanie a^\pm i e^\pm , zbieżność w (4.11b) oraz (4.11a) jest wykładnicza. Ta konstrukcja została pierwotnie wykonana przez Alameę, Bronsarda i Gui [1] dla potencjałów W niezmienniczych na odbicia zamieniające ze sobą a^\pm . Inne istotne łączące rozwiązania układu (4.7) z wielokrotnymi studniami potencjału zostaną omówione w sekcjach 4.5.1 i 4.5.2.

W przypadku układu (4.9) Ginzburga-Landaua potencjał W jest radialny. W konsekwencji (por. [25]) dla $n = m \geq 2$ układ (4.9) posiada jednoznaczne *standardowe wirowe* rozwiązanie $\eta \in C^\infty(\mathbb{R}^n; \mathbb{R}^n)$ takie, że

$$(4.12a)$$

$$\eta(x) = \eta_{\text{rad}}(|x|) \frac{x}{|x|}, \quad \forall x \neq 0, \text{ gdzie } \eta_{\text{rad}} \text{ jest funkcją posiadającą nieparzyste rozszerzenie w } C^\infty(\mathbb{R}),$$

$$(4.12b)$$

$$\eta_{\text{rad}} \text{ jest rosnąca i zbieżna do 1 w } +\infty.$$

Ponadto rozwiązanie η jest *minimalne* w sensie nierówności $E_{\text{GL}}(\eta, \text{supp } \phi) \leq E_{\text{GL}}(\eta + \phi, \text{supp } \phi)$ dla wszystkich $\phi \in C_0^\infty(\mathbb{R}^n; \mathbb{R}^n)$. Rzeczywiście, w wymiarze $n = 2$, Mironescu [27] wykazał (por. również [42]), że każde minimalne rozwiązanie (4.9) jest albo stałą o module równym 1, albo (z dokładnością do przekształceń ortogonalnych w przeciwdziedzinie i translacji w dziedzinie) standardowym wirem η . W wyższych wymiarach $n = m \geq 3$, minimalność η została udowodniona przez Pisante [32], jednakże nie wiadomo czy, z dokładnością do translacji i obrotów, η jest jedynym minimalnym rozwiązaniem równania (4.9).

4.2. Spis osiągnięć. Artykuły (S1)–(S6) w sumie skupiają następujące osiągnięcia:

- (O1) Rozwiązano problem połączenia *orbity heteroklinicznej* dla układów r.r.z. drugiego i czwartego rzędu przy hipotezach całkowicie podobnych do klasycznych twierdzeń równania skalarnego. Opracowano solidną metodę, która ma zastosowania również w ogólniejszym ujęciu (tzn. w przestrzeniach Hilberta i dla potencjałów półciągłych z dołu).
- (O2) Zastosowano równania różniczkowe dotyczące przejść fazowych do modelowania zjawisk fizycznych.
- (O3) Skonstruowano nowe rozwiązania r.r.cz. dotyczących przejść fazowych, które są istotne zarówno z punktu widzenia zastosowań, jak i interesujące matematycznie.

Poniżej opisujemy, jak osiągnęliśmy te wyniki we wspomnianych artykułach.

²Heterokliniczne orbity e^\pm są niezdegenerowane w sensie, że 0 jest prostą wartością własną zlinearyzowanych operatorów $T : W^{2,2}(\mathbb{R}; \mathbb{R}^m) \rightarrow L^2(\mathbb{R}; \mathbb{R}^m)$, $T\varphi = -\varphi'' + D^2W(e^\pm)\varphi$.

4.3. **Cel (O1).** Istnienie heteroklinicznych, homoklinicznych i okresowych orbit dla skalarnego r.r.z.

$$(4.13) \quad u'' = W'(u), \quad u : \mathbb{R} \rightarrow \mathbb{R}, \quad W \in C^2(\mathbb{R}, \mathbb{R})$$

jest materiałem podręcznikowym. Przypominamy, że jeśli $W > 0$ w przedziale (a^-, a^+) i $W(a^\pm) = 0$, to

- (i) jeśli $W'(a^\pm) = 0$, to istnieje rozwiązanie $u : \mathbb{R} \rightarrow (a^-, a^+)$ równania (4.13) takie, że $\lim_{x \rightarrow \pm\infty} u(x) = a^\pm$. Jest to połączenie heterokliniczne, jednoznaczne z dokładnością do translacji.
- (ii) jeśli $W'(a^-) = 0$ i $W'(a^+) \neq 0$, to istnieje parzyste jednoznaczne rozwiązanie $u : \mathbb{R} \rightarrow (a^-, a^+]$ równania (4.13) takie, że $\lim_{x \rightarrow \pm\infty} u(x) = a^-$ i $u(0) = a^+$. Jest to połączenie homokliniczne.
- (iii) jeśli $W'(a^-) \neq 0$ i $W'(a^+) \neq 0$, to istnieje okresowe rozwiązanie $u : \mathbb{R} \rightarrow [a^-, a^+]$ równania (4.13) takie, że $u(0) = a^-$, $u(T/2) = a^+$ i $\forall x \in \mathbb{R} : u(x+T) = u(x)$, $u(x+T/2) = u(-x+T/2)$ dla pewnego $T > 0$.

W **(S1)** badamy punkty minimalne układu Hamiltona

$$(4.14) \quad u''(x) = \nabla W(u(x)), \quad u : \mathbb{R} \rightarrow \mathbb{R}^m, \quad W \in C^2(\mathbb{R}^m; \mathbb{R})$$

w ogólnym przypadku, bez ograniczeń dotyczących zachowania lub minimów potencjału uwzględnionych we wcześniejszych pracach. Nasze główne twierdzenie w **(S1)** dowodzi istnienia orbit heteroklinicznych, homoklinicznych i okresowych przy hipotezach całkowicie podobnych do klasycznych twierdzeń równania skalarnego.

4.3.1. *Wcześniejsze dowody istnienia połączenia heteroklinicznego w przypadku wektorowym.* Pierwsze dowody istnienia połączenia heteroklinicznego w przypadku wektorowym dla *podwójnej studni potencjału* zostały podane przez Rabinowitza [37] poprzez minimalizację funkcjonału działania oraz przez Sternberga [46], który wykorzystał zasadę Jacobiego przy nieco restrykcyjnych hipotezach dotyczących zachowania W na minimach. W [37] poza gładkością nie jest wymagane żadne inne założenie dotyczące zachowania W na minimach. Następnie Bonheure i Sanchez udowodnili istnienie orbit heteroklinicznych dla potencjałów posiadających *izolowane miejsca zerowe*. Wreszcie, Alikakos i Fusco [4] podali nowy dowód istnienia orbit heteroklinicznych dla *podwójnych studni potencjału* spełniających założenie monotoniczności w otoczeniu swoich minimów. Później warunek monotoniczności został usunięty przez Sourdisa [44].

4.3.2. *Główne twierdzenie (S1).* Główne wyniki w **(S1)** (por. Theorems 4.2, 5.2 i 5.4 w **(S1)**) można podsumować następująco.

Twierdzenie 4.1. *Niech $W \in C^2(\mathbb{R}^m; \mathbb{R})$ i niech Ω będzie spójną składową zbioru $\{W > 0\}$ taką, że $\partial\Omega$ jest rozdzielony na dwa zwarte zbiory A^- i A^+ . Zakładamy, że W spełnia standardowy asymptotyczny warunek*

$$(4.15) \quad \liminf_{u \in \Omega, |u| \rightarrow \infty} W(u) > 0, \quad \text{jeśli } \Omega \text{ jest nieograniczony.}$$

Wówczas

- (i) *jeśli $\nabla W(u) = 0$ na A^- i A^+ , to istnieje heterokliniczna orbita $u : \mathbb{R} \rightarrow \Omega$, $u'' = \nabla W(u)$ łącząca w $\pm\infty$ zbiory A^\pm (tzn. $\lim_{x \rightarrow \pm\infty} d(u(x), A^\pm) = 0$).*
- (ii) *jeśli $\nabla W(u) = 0$ na A^- i $\nabla W(u) \neq 0$ na A^+ , to istnieje homokliniczna orbita $u : \mathbb{R} \rightarrow \bar{\Omega}$, $u'' = \nabla W(u)$ zbliżająca się w $\pm\infty$ do zbioru A^- (tzn. $\lim_{x \rightarrow \pm\infty} d(u(x), A^-) = 0$) i spełniająca $u(0) \in A^+$.*
- (iii) *jeśli $\nabla W(u) \neq 0$ na A^- i na A^+ , to istnieje okresowa orbita $u : \mathbb{R} \rightarrow \bar{\Omega}$, $u'' = \nabla W(u)$ taka, że $u(T\mathbb{Z}) = a^- \in A^-$ i $u(T\mathbb{Z} + T/2) = a^+ \in A^+$ ($T > 0$).*

Nasz dowód Twierdzenia 4.1 jest wariacyjny i polega na wykazaniu, że orbita łącząca minimalizuje funkcjonal *akcji* $E(u) := \int_{\mathbb{R}} (\frac{1}{2}|u'|^2 + W(u))$ w klasie przekształceń spełniających odpowiednie warunki brzegowe. Nasze podejście jest zgodne z metodą ograniczonej minimalizacji przedstawioną w [4]. Jedynym strukturalnym założeniem Twierdzenia 4.1 jest warunek rozdzielania $A^- \cap A^+ = \emptyset$. Za wyjątkiem zwartości A^\pm , żaden inny warunek na $\partial\Omega$ nie jest wymagany. Zwracamy uwagę, że warunek rozdzielania $A^- \cap A^+ = \emptyset$ jest naturalnym założeniem, ponieważ spójność zbioru minimów W (co zachodzi np. dla potencjału Ginzburga-Landaua $W(u) = \frac{(|u|^2-1)^2}{4}$) implikuje, że minimalne rozwiązania układu (4.14) są stałe (por. Remark 3.6 w (S1)).

4.3.3. Orbity heterokliniczne dla modeli przejścia fazowego czwartego rzędu.

Równanie Fishera-Kołmogorowa

$$(4.16) \quad \frac{d^4u}{dx^4} - \beta u'' + u^3 - u = 0, \quad u : \mathbb{R} \rightarrow \mathbb{R}, \quad \beta > 0$$

zostało zaproponowane w 1988 r. przez Dee i van Saarloosa [16] jako równanie modelu wyższego rzędu dla układów bistabilnych. Równanie (4.16) było intensywnie badane różnymi metodami: metoda topologicznego strzelania, metody hamiltonowskie, metody wariacyjne, i metody bazujące na zasadzie maksimum (por. [10], [31] i zawarte w nich odniesienia). W ostatnich latach okazało się, że struktura rozwiązań (4.16) jest znacznie bogatsza niż struktura rozwiązań równania Allena-Cahna (4.1). Istnienie heteroklinicznych rozwiązań (4.16) przy pomocy argumentów wariacyjnych zostało po raz pierwszy zbadane przez L. A. Peletiera, W. C. Troya, R. C. A. M. Van der Vorsta [30], i W. D. Kaliesa, R. C. A. M. Van der Vorsta [26]. Z definicji orbita heterokliniczna jest rozwiązaniem (4.16) łączącym w $\pm\infty$ dwa punkty równowagi ± 1 w sensie

$$(4.17) \quad \lim_{x \rightarrow \pm\infty} (u(x), u'(x), u''(x), u'''(x)) = (\pm 1, 0, 0, 0) \text{ w przestrzeni fazowej.}$$

O ile mi wiadomo, dowody istnienia orbit heteroklinicznych dla układów r.r.z. czwartego rzędu nie były osiągalne przed opublikowaniem (S2).

4.3.4. *Główne twierdzenie (S2)*. Celem (S2) jest ustalenie przy ogólnych założeniach istnienia minimalnych orbit heteroklinicznych w klasie układów r.r.z. czwartego rzędu o strukturze wariacyjnej. Dokładniej rzecz biorąc, rozważam równanie Eulera-Lagrange'a

$$(4.18) \quad \frac{d^4u}{dx^4} + W_u(u, u') - W_{uv}(u, u')u' - W_{vv}(u, u')u'' = 0, \quad u : \mathbb{R} \rightarrow \mathbb{R}^m$$

związane z funkcjonalem $E(u) = \int_{\mathbb{R}} (\frac{1}{2}|u''|^2 + W(u, u'))$, gdzie $u \in W_{\text{loc}}^{2,2}(\mathbb{R}; \mathbb{R}^m)$ i $W \in C^2(\mathbb{R}^m \times \mathbb{R}^m, [0, \infty))$. Równanie (4.18) opisuje sporą klasę układów r.r.z. czwartego rzędu, w tym wektorowe r.r.z. Fishera-Kołmogorowa:

$$(4.19) \quad \frac{d^4u}{dx^4}(x) - \beta u''(x) + \nabla F(u(x)), \quad u : \mathbb{R} \rightarrow \mathbb{R}^m, \quad \beta > 0, F \in C^2(\mathbb{R}^m; [0, \infty)).$$

Theorem 1.1 z (S2) jest odpowiednikiem Twierdzenia 4.1 (i) dla układów r.r.z. czwartego rzędu.

Twierdzenie 4.2. *Zakładamy, że*

H₁: *Zbiór $A := \{u \in \mathbb{R}^m : W(u, 0) = 0\}$ równowag jest rozdzielony na dwa niepuste, wzajemnie rozłączne zwarte podzbiory A^- i A^+ .*

H₂: *Istnieje zbiór otwarty $\Omega \subset \mathbb{R}^m$ taki, że $A^- \subset \Omega$, $A^+ \cap \bar{\Omega} = \emptyset$ i $W(u, v) > 0$ zachodzi dla każdego $u \in \partial\Omega$ i każdego $v \in \mathbb{R}^m$.*

H₃: *$\liminf_{|u| \rightarrow \infty} W(u, v) > 0$ jednostajnie w $v \in \mathbb{R}^m$.*

Wówczas istnieje minimalna heterokliniczna orbita u rozwiązująca (4.18) i łącząca w $\pm\infty$ zbiory A^\pm w rozumieniu $\lim_{x \rightarrow \pm\infty} d(u(x), A^\pm) = 0$ oraz $\lim_{x \rightarrow \pm\infty} (u'(x), u''(x), u'''(x)) = (0, 0, 0)$.

Podobnie jak w Twierdzeniu 4.1, podstawowym założeniem strukturalnym jest warunek rozdzielania w \mathbf{H}_1 . Natomiast założenia \mathbf{H}_2 i \mathbf{H}_3 dotyczące jednostajności w v są wymagane do kontrolowania zależności W od zmiennej v . W przypadku wektorowego r.r.z. Fishera-Kołmogorowa (4.19) hipotezy te są w oczywisty sposób spełnione. Metoda opracowana w **(S2)** (por. w szczególności Lemma 2.4 w **(S2)**) jest udoskonaleniem argumentów przedstawionych w **(S1)**. Została ona zastosowana w moich kolejnych pracach **(S15)**–**(S16)** w celu udowodnienia istnienia heteroklinicznych orbit w przestrzeniach Hilberta oraz do skonstruowania heteroklinicznych warstw podwójnych dla układów r.r.cz. drugiego i czwartego rzędu. Metoda ta obejmuje również przypadki potencjałów półciągłych z dołu.

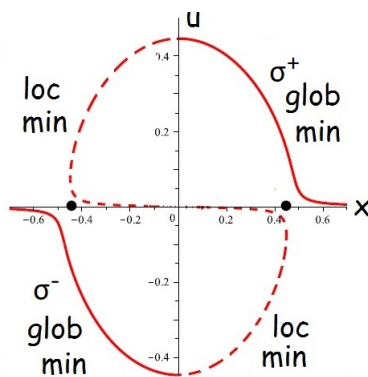
4.4. **Cel (O2)**. W **(S3)** rozważamy model przejścia fazowego dla oddziaływania światła z materia w ciekłych kryształach, opisany przez r.r.z.:

$$(4.20) \quad \epsilon^2 u + \mu(x)u - u^3 + \epsilon a f(x) = 0,$$

gdzie

$$(4.21) \quad \begin{cases} \mu \in C^1(\mathbb{R}) \cap L^\infty(\mathbb{R}) \text{ jest f. parzystą, } \mu' < 0 \text{ w } (0, \infty) \text{ i } \mu(\xi) = 0 \text{ dla dokładnie jednego } \xi > 0, \\ f \in L^1(\mathbb{R}) \cap L^\infty(\mathbb{R}) \cap C(\mathbb{R}) \text{ jest f. nieparzystą, } f(x) > 0, \forall x > 0. \end{cases}$$

Jest to jednowymiarowa wersja modelu zaproponowanego przez mojego współautora prof. M. Clerca [8] do opisu oddziaływania światła z materią w nematycznych ciekłych kryształach. **(S3)** jest pierwszym artykułem badającym ten konkretny model z matematycznego punktu widzenia. Zaobserwowaliśmy jednak, że wyniki opisane w (i) i (ii) poniżej, mają pewne podobieństwa z innymi pojedynczymi problemami z zakresu r.r.cz., a w szczególności z modelem Grossa-Pitaevskiego kondensatów Bose'a-Einsteina. W (4.20) parametr $\epsilon > 0$ jest mały, natomiast parametr $a \geq 0$ opisuje intensywność zastosowanego światła laserowego. Z kolei funkcja μ zmienia znak ze względu na to, że światło przyłożone jest do próbki lokalnie, a obszary, w których $\mu < 0$ interpretowane są jako strefy cienia, natomiast obszary, w których $\mu > 0$ odpowiadają oświetlonym strefom. Wreszcie, funkcja f opisuje pole elektryczne indukowane przez światło. Eksperymenty pokazują, że wraz ze wzrostem natężenia przyłożonego światła laserowego reprezentowanego tutaj jawnie przez parametr a , defekty takie jak wiry świetlne, pojawiają się najpierw na granicy oświetlanej strefy, a następnie w jej środku. To przejście ma miejsce po osiągnięciu wartości progowej a .



RYSUNEK 3. Gałęzie minimów potencjału $W(x, u)$.

Równanie (4.20) może być inaczej zapisane jako $u'' = W_u(x, u)$, gdzie

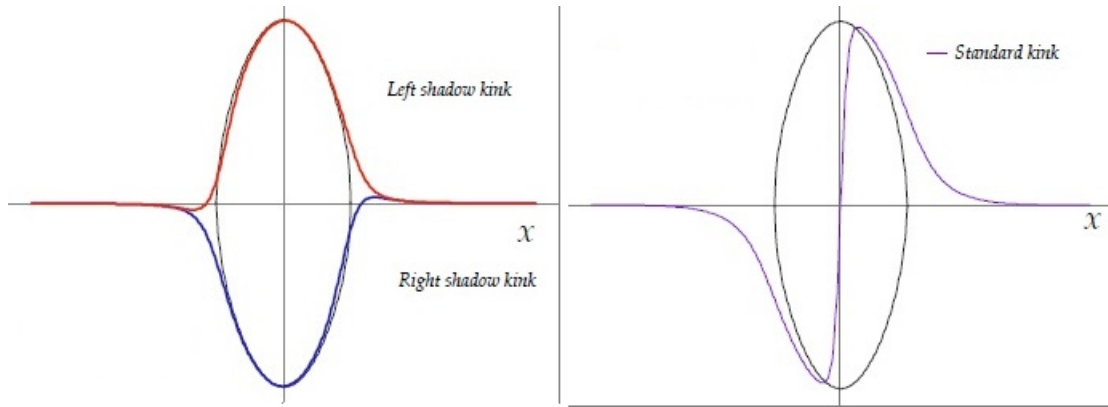
$$W(x, u) = \frac{1}{4\epsilon^2} u^4 - \frac{\mu(x)}{2\epsilon^2} u^2 - \frac{a}{\epsilon} f(x) \cdot u$$

jest nieautonomicznym potencjałem. Niech

$$(4.22) \quad E(u) = \int_{\mathbb{R}} \left(\frac{1}{2} |u'(x)|^2 + W(x, u) \right) dx, \quad u \in H^1(\mathbb{R})$$

będzie związanym z nim funkcjonałem energii. Na Rysunku 3 możemy zobaczyć, że dla ustalonego x , $\min_u W(x, u)$ jest osiągane na gałęzi σ^+ gdy $x > 0$ i na gałęzi σ^- gdy $x < 0$. Stąd, w tym modelu przejście fazowe łączy gałęzie σ^\pm .

Najważniejsze jest to, że globalne punkty minimalne v_ϵ funkcjonału (4.22) oraz ich zera mogą być wykorzystane do opisanja orientacji cząsteczek i ich defektów topologicznych, odpowiednio. Istotnie, wyniki przedstawione poniżej wykazują niezwykłą zgodność jakościową z eksperymentami. Mówiąc precyzyjniej, w Theorem 1.1 z **(S3)** badamy punkty minimalne v_ϵ przy $\epsilon \rightarrow 0$ i ustalonym a . Potwierdziliśmy matematycznie, że dwie wartości krytyczne a_* , i $a^* \geq a_*$ determinują zachowanie zera \bar{x}_ϵ funkcji v_ϵ .



RYSUNEK 4. Zarys punktów minimalnych v_ϵ gdy $a \in (0, a_*)$ (po lewej) oraz gdy $a > a^*$ (po prawej).

Twierdzenie 4.3. *Zachodzą następujące stwierdzenia.*

- (i) *Gdy $a = 0$, to globalny punkt minimalny v_ϵ jest funkcją parzystą i dodatnią z dokładnością do zamiany v_ϵ na $-v_\epsilon$.*
- (ii) *Dla $a > 0$ globalny punkt minimalny v_ϵ ma dokładnie jedno miejsce zerowe \bar{x}_ϵ takie, że*

$$(4.23) \quad |\bar{x}_\epsilon| \leq \xi + \mathcal{O}(\sqrt{\epsilon}) \text{ i } v_\epsilon(x) > 0, \forall x > \bar{x}_\epsilon \text{ gdy } v_\epsilon(x) < 0, \forall x < \bar{x}_\epsilon.$$

- (iii) *Przypuśćmy, że*

$$(4.24) \quad a^* := \sup_{x \in [-\xi, 0)} \frac{\sqrt{2}((\mu(0))^{3/2} - (\mu(x))^{3/2})}{3 \int_x^0 |f| \sqrt{\mu}} < \infty.$$

Dla wszystkich $a > a^*$, $\bar{x}_\epsilon \rightarrow 0$ przy $\epsilon \rightarrow 0$ i globalny punkt minimalny v_ϵ spełnia

$$(4.25) \quad \begin{aligned} \lim_{\epsilon \rightarrow 0} v_\epsilon(\bar{x}_\epsilon + \epsilon s) &= \sqrt{\mu(0)} \tanh(s\sqrt{\mu(0)/2}), \\ \lim_{\epsilon \rightarrow 0} v_\epsilon(x + \epsilon s) &= \begin{cases} \sqrt{\mu(x)} & \text{dla } 0 < x < \xi, \\ -\sqrt{\mu(x)} & \text{dla } -\xi < x < 0, \\ 0 & \text{dla } |x| \geq \xi \end{cases} \end{aligned}$$

w sensie $C_{\text{loc}}^1(\mathbb{R})$ (por. Rysunek 4).

(iv) Niech

$$a_* := \inf_{x \in (-\xi, 0]} \frac{\sqrt{2}(\mu(x))^{3/2}}{3 \int_{-\xi}^x |f| \sqrt{\mu}} \in (0, \infty) \text{ i zauważmy, że } a_* \leq a^*.$$

Z dokładnością do zamiany $v_\epsilon(x)$ na $-v_\epsilon(-x)$, dla wszystkich $a \in (0, a_*)$ mamy $\bar{x}_\epsilon \rightarrow -\xi$ gdy $\epsilon \rightarrow 0$ oraz

$$(4.26) \quad \lim_{\epsilon \rightarrow 0} v_\epsilon(x + s\epsilon) = \begin{cases} \sqrt{\mu(x)} & \text{dla } |x| < \xi, \\ 0 & \text{dla } |x| \geq \xi \end{cases}$$

w sensie $C_{\text{loc}}^1(\mathbb{R})$ (por. Rysunek 4). Powyższy wzór asymptotyczny zachodzi również dla $a = 0$. Ponadto gdy $f = -\frac{\mu'}{2}$, to $a_* = a^* = \sqrt{2}$.

Następnie, w Theorem 1.2 z **(S3)** odkryliśmy silny związek r.r.z. (4.20) z drugim r.r.z. Painlevé'a:

$$(4.27) \quad y'' - xy - 2y^3 - \alpha = 0, \quad x \in \mathbb{R}, \quad \alpha \in \mathbb{R},$$

które było intensywnie badane przez Painlevé'a i innych od początku XX wieku ze względu na jego duże znaczenie dla zastosowań. Rzeczywiście, udowodniliśmy, że punkty minimalne v_ϵ odpowiednio przeskalowane w otoczeniu punktu ξ zbiegają przy $\epsilon \rightarrow 0$ do rozwiązania y równania (4.27). Dodatkowo, ze względu na konstrukcję, rozwiązanie y jest ograniczone w ∞ i *minimalne* w sensie nierówności

$$(4.28) \quad E_{\text{PII}}(y, \text{supp } \phi) \leq E_{\text{PII}}(y + \phi, \text{supp } \phi), \quad \forall \phi \in C_0^\infty(\mathbb{R}),$$

gdzie

$$(4.29) \quad E_{\text{PII}}(u, I) = \int_I \left(\frac{1}{2} |u'|^2 + \frac{1}{2} su^2 + \frac{1}{2} u^4 + \alpha u \right)$$

jest funkcjonalem energii związanym z (4.27).

Ze względu na otrzymany wynik rozpoczęliśmy *badanie wariacyjne* drugiego r.r.z. Painlevé'a i scharakteryzowaliśmy *minimalne* rozwiązania równania jednorodnego

$$(4.30) \quad y'' - xy - 2y^3 = 0, \quad x \in \mathbb{R}.$$

Mówiąc ściślej, wykazaliśmy w Theorem 1.3 z **(S3)**, że rozwiązanie Hastingsa-McLeoda, oznaczane przez h , jest z dokładnością do znaku jedynym minimalnym rozwiązaniem (4.30) ograniczonym w $+\infty$. Przypominamy (por. [24]), że $h : \mathbb{R} \rightarrow \mathbb{R}$ jest dodatnia, ściśle malejąca ($h' < 0$) i taka, że

$$(4.31) \quad \begin{aligned} h(x) &\sim Ai(x), & x \rightarrow \infty, \\ h(x) &\sim \sqrt{|x|/2}, & x \rightarrow -\infty, \end{aligned}$$

gdzie Ai jest funkcją Airy'ego. Klasyfikacja rozwiązań (4.30) podana w [24] była niezbędna do uzyskania naszego wyniku. Wreszcie, w Theorem 1.3 z **(S3)** udowodniliśmy również, że niejednorodne równanie (4.27) przy $\alpha < 0$ posiada dodatnie minimalne rozwiązanie y , które jest ściśle malejące ($y' < 0$).

4.5. Cel (O3).

W (S4) definiujemy odpowiednie, bardzo ogólne klasy symetrii, które dają dużą różnorodność złożonych rozwiązań symetrycznych dla wektorowego równania Allena-Cahna (tj. dla układu (4.7) ze skończonym zbiorem $\{W = 0\}$). Z kolei w (S5) i (S6) rozpoczęliśmy badanie rozszerzonego r.r.cz. Painlevé'a:

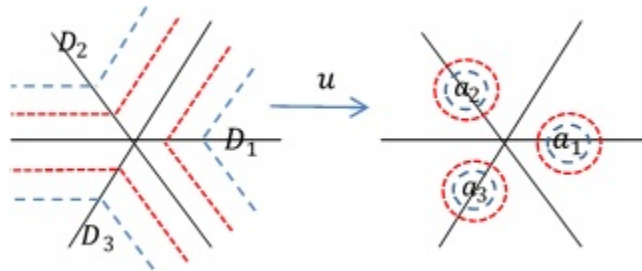
$$(4.32) \quad \Delta y - x_1 y - 2|y|^2 y = 0, \quad x = (x_1, \dots, x_n) \in \mathbb{R}^n, y = (y_1, \dots, y_m) : \mathbb{R}^n \rightarrow \mathbb{R}^m$$

w przypadku skalarnym ($m = 1$) oraz wektorowym ($m \geq 2$), odpowiednio. Zauważmy, że skalarne (odp. wektorowe) r.r.cz. Painlevé'a otrzymuje się mnożąc przez $-x_1$ człon liniowy równania Allena-Cahna (odp. układ (4.9) Ginzburga-Landaua). W związku z tym, rozwiązania równania (4.32) mają pewne cechy wspólne z rozwiązaniami (4.4) (odp. (4.9)). Jednakże analiza (4.32) jest znacznie bardziej skomplikowana ze względu na nieograniczoność rozwiązań (4.32) oraz spełniane przez nie warunki brzegowe. Artykuły (S5) i (S6) były motywowane naszymi poprzednimi pracami nad teorią oddziaływania światła z materią w ciekłych kryształach (S12)–(S13). W rzeczy samej, w Theorem 1.1 z (S12) wykazaliśmy, że *minimalne* rozwiązania (4.32) są istotne do opisanie orientacji cząsteczek na granicy oświetlonego obszaru.

4.5.1. Wcześniejsze konstrukcje rozwiązań symetrycznych wektorowego równania Allena-Cahna.

Pierwszą konstrukcję punktu potrójnego podali Bronsard, Gui oraz Schatzman [11] dla potrójnej studni potencjału $W : \mathbb{R}^2 \rightarrow [0, \infty)$, $\{W(u) = 0\} = \{a_1, a_2, a_3\}$ niezmienniczej na działanie grupy symetrii G trójkąta równobocznego o wierzchołkach w a_1, a_2, a_3 . W poniższym przykładzie linie odbić grupy G dzielą \mathbb{R}^2 na trzy 120-stopniowe sektory D_i takie, że $a_i \in D_i, \forall i = 1, 2, 3$. Przy tych założeniach symetrii, punkt potrójny (por. Rysunek 5) jest rozwiązaniem $u : \mathbb{R}^2 \rightarrow \mathbb{R}^2$ układu (4.7) takim, że

- $u(gx) = gu(x), \forall x \in \mathbb{R}^2, \forall g \in G,$
- $\lim_{x \in D_i, d(x, D_i) \rightarrow \infty} u(x) = a_i.$



RYSUNEK 5. Punkt potrójny dla symetrycznego potencjału.

Zatem punkt potrójny łączy trzy minima W gdy $|x| \rightarrow \infty$ wzdłuż pewnych kierunków. Podobnie, punkt poczwórny jest rozwiązaniem $u : \mathbb{R}^3 \rightarrow \mathbb{R}^3$ układu (4.7) łączącym cztery minima $W : \mathbb{R}^3 \rightarrow [0, \infty)$ gdy $|x| \rightarrow \infty$ wzdłuż pewnych kierunków. Zostało to opracowane przez Gui and Schatzmana [23] dla potencjałów niezmienniczych na działanie grupy symetrii czworościanu foremnego. Metoda konstrukcji w tych pracach bazuje na systematycznym składaniu rozwiązania z niżej wymiarowych kawałków wzdłuż linii asymptotycznego wzrostu.

Następnie Alikakos i Fusco w serii prac [5, 19, 2] skonstruowali ekwiwariantne rozwiązania $u : \mathbb{R}^n \rightarrow \mathbb{R}^n$ układu (4.7) dla potencjałów $W : \mathbb{R}^n \rightarrow [0, \infty)$ niezmienniczych na działanie dowolnej skończonej grupy odbić G . Alikakos i autor rozważyli również przypadek *dyskretnych* grup odbić

w (S19) i skonstruowali ekwiwariantne rozwiązania kratowe układu (4.7). Ekwiwariancja oznacza, że

$$(4.33) \quad u(gx) = gu(x), \forall x \in \mathbb{R}^n, \forall g \in G.$$

Wreszcie, Bates, Fusco oraz autor przedstawili w (S8) przykład rozwiązania symetrycznego $u : \mathbb{R}^2 \rightarrow \mathbb{R}^2$ układu (4.7) z dwoma różnymi grupami działającymi na dziedzinę i przeciwdziedzinę. Podejście zastosowane we wspomnianych pracach składa się z następujących kroków

Krok 1 : Wykazać własność $u(F) \subset F$ dla każdego obszaru fundamentalnego F grupy G , korzystając z parabolicznego przepływu $u_t = \Delta u - \nabla W(u)$, z warunkiem początkowym na ekwiwariantny punkt minimalny.

Krok 2 : Wyprowadzić punktowe oszacowania, aby wywnioskować, że gdy $x \in F$ i $d(x, \partial F) \rightarrow \infty$, to $u(x)$ zbiega to minimów a potencjału W zawartych w F .

4.5.2. *Główne wyniki z (S4).* W (S4) uogólniamy pojęcie ekwiwariancji rozważając skończoną bądź dyskretną grupę odbić G działającą na \mathbb{R}^n , skończoną grupę odbić Γ działającą na \mathbb{R}^m oraz homomorfizm $f : G \rightarrow \Gamma$. Odwzorowanie $u : \mathbb{R}^n \rightarrow \mathbb{R}^m$ nazywa się f -ekwiwariantnym jeśli

$$(4.34) \quad u(gx) = f(g)u(x), \forall x \in \mathbb{R}^n, \forall g \in G.$$

Konstruowane przez nas f -ekwiwariantne rozwiązania $u : \mathbb{R}^n \rightarrow \mathbb{R}^m$ łączą minima potencjału w określonych kierunkach i przekształcają każdy fundamentalny obszar F dla działania G na \mathbb{R}^n , na odpowiadający jemu fundamentalny obszar Φ dla działania Γ na \mathbb{R}^m . Aby umożliwić istnienie rozwiązań spełniających własność

$$(4.35) \quad u(\overline{F}) \subset \overline{\Phi},$$

homomorfizm f musi powiązać odbicia związane ze ścianami F , z odbiciami związanymi ze ścianami Φ . Takie homomorfizmy nazywamy *dodatnimi* . Ze względu na różnorodność wyboru n i m dla grup odbić G i Γ oraz homomorfizmu $f : G \rightarrow \Gamma$, wnioskujemy, że istnieją różne, złożone, wielofazowe rozwiązania układu (4.7) (por. Rysunek 6), w tym kilka typów rozwiązań kratowych.

Po tych wyjaśnieniach możemy sformułować nasze główne twierdzenie (por. Theorems 3.1 i 3.2 w (S4)).

Twierdzenie 4.4. *Zakładamy, że*

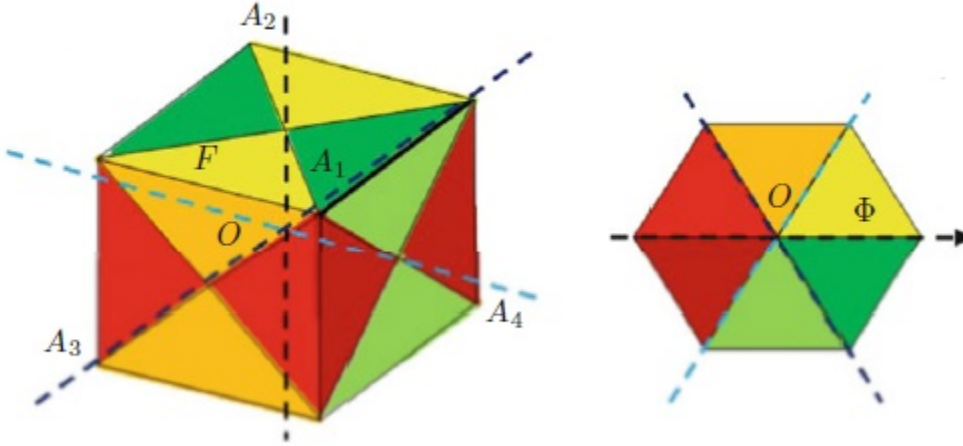
H₁: *Istnieje skończona (bądź dyskretna) grupa odbić G działająca na \mathbb{R}^n , skończona grupa odbić Γ działająca na \mathbb{R}^m oraz dodatni homomorfizm $f : G \rightarrow \Gamma$. Niech Φ będzie obszarem fundamentalnym Γ , który f wiąże z obszarem fundamentalnym F grupy G .*

H₂: *Potencjał $W : \mathbb{R}^m \rightarrow [0, \infty)$ klasy C^3 jest niezmienniczy ze względu na działanie skończonej grupy odbić Γ oraz istnieje $M > 0$ takie, że $W(su) \geq W(u)$ dla $s \geq 1$ i $|u| = M$.*

H₃: *Istnieje a we wnętrzu Φ takie, że $0 = W(a) < W(u)$, $\forall u \in \overline{\Phi} \setminus \{a\}$ i macierz $D^2W(a)$ jest dodatnio określona.*

Wówczas istnieje f -ekwiwariantne klasyczne rozwiązanie u układu (4.7) spełniające (4.35) oraz takie, że $|u(x) - a| \leq Ke^{-kd(x, \partial F)}$ zachodzi dla $x \in F$ i pewnych stałych $k, K > 0$ zależnych jedynie od W .

Nasze podejście w (S4) jest zgodne z dwoma krokami opisanymi w sekcji 4.5.1. Jednakże dowód własności $u(F) \subset \Phi$ jest dużo bardziej związany z f -ekwiwariancją. Opiera się on na starannym doborze pewnych odwzorowań skalarnych wektorowego równania parabolicznego oraz na dość wyrafinowanym wykorzystaniu zasady maksimum. Te argumenty zostały po raz pierwszy przedstawione w mojej pracy doktorskiej [43] oraz w (S19).



RYSUNEK 6. Obszar fundamentalny dla działania grupy symetrii czworościanu foremego na \mathbb{R}^3 (po lewej) oraz dla działania grupy symetrii trójkąta równobocznego na \mathbb{R}^2 (po prawej). Rozwiązania f -ekwiwariantne $u : \mathbb{R}^3 \rightarrow \mathbb{R}^2$ układu (4.7) podane przez Twierdzenie 4.4 przekształcają obszary fundamentalne na obszary fundamentalne o tym samym kolorze.

4.5.3. Główne wyniki w (S5) i (S6). Skalarne r.r.cz. Painlevé'a

$$(4.36) \quad \Delta y - x_1 y - 2y^3 = 0, \quad x = (x_1, \dots, x_n) \in \mathbb{R}^n, \quad y : \mathbb{R}^n \rightarrow \mathbb{R}$$

może być również zapisane jako

$$(4.37) \quad \Delta y(x) = H_y(x_1, y(x)), \quad x \in \mathbb{R}^n,$$

gdzie potencjał autonomiczny $H(x_1, y) = \frac{1}{2}x_1 y^2 + \frac{1}{2}y^4$ jest bistabilny dla każdego ustalonego $x_1 < 0$. Istotnie, dla ustalonego x_1 , H osiąga swoje globalne minimum równe 0 gdy $y = 0$ i $x_1 \geq 0$, lub równe $-\frac{x_1^2}{8}$ gdy $y = \pm\sqrt{|x_1|/2}$ i $x_1 < 0$. Zauważamy również, że w świetle (4.31) dwa minimalne rozwiązania $\pm h$ drugiego r.r.cz. Painlevé'a (4.30) interpolują te dwie gałęzie minimów. Zatem w wymiarze $n = 2$ r.r.cz. Painlevé'a (4.36) opisuje model przejścia fazowego, tak jak równanie Allena-Cahna (4.1). W drugim przypadku przejście fazowe łączy dwa minima ± 1 potencjału W , a z kolei w pierwszym przypadku przejście fazowe łączy dwie gałęzie $\pm\sqrt{(-x_1)^+/2}$ minimów H sparametryzowanych przez x_1 . Celem (S5) jest skonstruowanie rozwiązań $y : \mathbb{R}^2 \rightarrow \mathbb{R}$ równania (4.36) łączących te dwie gałęzie minimów (por. Theorem 2.1 w (S5)):

Twierdzenie 4.5. *Istnieje rozwiązanie $y : \mathbb{R}^2 \rightarrow \mathbb{R}$ równania (4.36) takie, że*

- (i) *y jest dodatnie w górnej półpłaszczyźnie i nieparzyste względem x_2 tzn. $y(x_1, x_2) = -y(x_1, -x_2)$.*
- (ii) *$y_{x_2}(x_1, x_2) > 0, \forall x_1, x_2 \in \mathbb{R}$, i $\lim_{l \rightarrow \pm\infty} y(x_1, x_2 + l) = \pm h(x_1)$ w $C_{\text{loc}}^2(\mathbb{R}^2)$.*
- (iii) *y jest minimalne.*
- (iv) *Dla każdego ustalonego $x_2 \in \mathbb{R}$, niech $\tilde{y}(t_1, t_2) := \frac{\sqrt{2}}{(-\frac{3}{2}t_1)^{\frac{2}{3}}} y(-(-\frac{3}{2}t_1)^{\frac{2}{3}}, x_2 + t_2(-\frac{3}{2}t_1)^{-\frac{1}{3}})$.*

Wówczas

$$(4.38) \quad \lim_{l \rightarrow -\infty} \tilde{y}(t_1 + l, t_2) = \begin{cases} \tanh(t_2/\sqrt{2}) & \text{gdy } x_2 = 0, \\ 1 & \text{gdy } x_2 > 0, \\ -1 & \text{gdy } x_2 < 0 \end{cases}$$

- w sensie zbieżności w $C_{\text{loc}}^1(\mathbb{R}^2)$.
- (iv) $y_{x_1}(x_1, x_2) < 0$, $\forall x_1 \in \mathbb{R}$, $\forall x_2 > 0$.
 - (v) $\frac{|y(x_1, x_2)|}{Ai(x_1)} = O(1)$, przy $x_1 \rightarrow \infty$ (jednostajnie w x_2).

W świetle powyższych punktów (i), (ii) i (iii) rozwiązanie y odgrywa podobną rolę co orbita heterokliniczna $e(x) = \tan(x/\sqrt{2})$ w r.r.z. Allena-Cahna (4.1). Przede wszystkim oba rozwiązania y i e są minimalne i nieparzyste. Ponadto y łączy monotonicznie dwa rozwiązania minimalne $\pm h(x_1)$ wzdłuż kierunku pionowego x_2 w ten sam sposób, w jaki e łączy monotonicznie dwa globalne punkty minimalne ± 1 potencjału W . Co więcej, dwa globalne punkty minimalne ± 1 funkcjonału Allena-Cahna (4.3) mają swoje odpowiedniki w dwóch rozwiązaniach minimalnych $\pm h$ równania Painlevé'a. Podczas gdy e jest obiektem jednowymiarowym, rozwiązanie $y(x_1, x_2)$ jest dwuwymiarowe, ponieważ x_1 parametryzuje gałęzie minimów potencjału H i tylko x_2 bierze udział w przemianie fazowej. Analogia między równaniami (4.36) i (4.1) pojawia się również we własności (iv). Istotnie, po przeskalowaniu, rozwiązanie y zbiega przy $x_1 \rightarrow -\infty$ do minimalnego rozwiązania r.r.z. Allena-Cahna, które zależy albo od e , albo od ± 1 . Nie jest to takie zaskakujące, ponieważ skalarne r.r.cz. Painlevé'a (4.36) otrzymuje się poprzez przemnożenie członu liniowego u w r.r.cz. Allena-Cahna (4.4) przez $-x_1$, i wówczas po przeskalowaniu tak jak w (4.38), zależność od x_1 znika przy $x_1 \rightarrow -\infty$.

Rozwiązanie z Twierdzenia 4.5 zostało skonstruowane jako osobliwa granica punktów minimalnych problemu ciekłokrystalicznego w wymiarach $n = 2$ dla dziedziny i $m = 1$ dla przeciwdziedziny (zob. (S13)). Z kolei własność (iii) otrzymano przy użyciu przeskalowywania, a własności monotoniczne (ii) i (iv) wynikają z zawilego zastosowania metody ruchomej płaszczyzny (por. [20]).

Podobnie, wektorowe r.r.cz. Painlevé'a

$$(4.39) \quad \Delta y - x_1 y - 2|y|^2 y = 0, \quad x = (x_1, \dots, x_n) \in \mathbb{R}^n, \quad y : \mathbb{R}^n \rightarrow \mathbb{R}^m$$

jest ściśle powiązane z układem Ginzburga-Landaua (4.9). Zadaniem (S6) jest skonstruowanie analogicznej wersji standardowego rozwiązania wirowego η (por. (4.12)) dla wektorowego r.r.cz. Painlevé'a (4.39) (por. Theorem 1 z (S6)). Ponieważ dla każdego ustalonego $x_1 < 0$ potencjał $H(x_1, y) = \frac{1}{2}x_1|y|^2 + \frac{1}{2}|y|^4$ związany z (4.39) osiąga swoje globalne minimum na sferze $\{y \in \mathbb{R}^m : |y| = \sqrt{|x_1|/2}\}$, to powinniśmy mieć $m = n - 1$ w celu umożliwienia tworzenia wirów w hiperpłaszczyznach $x_1 = \text{Const}$. Zatem poszukiwane przez nas rozwiązanie y układu (4.39) jest zdefiniowane na \mathbb{R}^n i przyjmuje swoje wartości w \mathbb{R}^{n-1} ($n \geq 3$). W dodatku, y ma konfigurację włókna wirowego i posiada pewne cechy wspólne z układem Ginzburga-Landaua (4.9) i drugim r.r.cz. Painlevé'a (4.30). Mówiąc precyzyjniej, w każdej hiperpłaszczyźnie $x_1 = \text{Const}$ ma profil podobny do standardowych wirów $\eta : \mathbb{R}^{n-1} \rightarrow \mathbb{R}^{n-1}$ układu (4.9), ale ich amplituda jest określona przez rozwiązanie h Hastingsa-McLeoda określone w x_1 .

Twierdzenie 4.6. *Istnieje rozwiązanie $y \in C^\infty(\mathbb{R}^n; \mathbb{R}^{n-1})$ (dla $n \geq 3$) układu (4.39) takie, że*

- (i) Biorąc $z := (x_2, \dots, x_n)$, $e_z := \frac{z}{|z|}$ oraz $\sigma := |z|$, mamy $y(x) = y_{\text{rad}}(x_1, \sigma)e_z$, gdzie $y_{\text{rad}}(x_1, \sigma)$ jest funkcją z nieparzystością względem rozszerzenia σ w $C^\infty(\mathbb{R}^2; \mathbb{R})$.
- (ii) Dodatkowo $y_{\text{rad}}(x_1, \sigma) > 0$, $\frac{\partial y_{\text{rad}}}{\partial x_1}(x_1, \sigma) < 0$, i $\frac{\partial y_{\text{rad}}}{\partial \sigma}(x_1, \sigma) > 0$, $\forall x_1 \in \mathbb{R}$, $\forall \sigma > 0$.
- (iii) $|y(x)| < h(x_1)$, $\forall x \in \mathbb{R}^n$, i $\lim_{l \rightarrow \infty} y_{\text{rad}}(x_1, \sigma + l) = h(x_1)$ w $C_{\text{loc}}^1(\mathbb{R}^2; \mathbb{R})$, gdzie h jest rozwiązaniem Hastingsa-McLeoda równania (4.30).
- (iv) Dla każdego ustalonego $z = (x_2, \dots, x_n) \in \mathbb{R}^{n-1}$, niech

$$(4.40) \quad \tilde{y}(t_1, \dots, t_n) := \frac{\sqrt{2}}{(-\frac{3}{2}t_1)^{\frac{1}{3}}} y\left(-\left(-\frac{3}{2}t_1\right)^{\frac{2}{3}}, x_2 + t_2\left(-\frac{3}{2}t_1\right)^{-\frac{1}{3}}, \dots, x_n + t_n\left(-\frac{3}{2}t_1\right)^{-\frac{1}{3}}\right).$$

Wówczas

$$(4.41) \quad \lim_{l \rightarrow -\infty} \tilde{y}(t_1 + l, t_2, \dots, t_n) = \begin{cases} \eta(t_2, \dots, t_n) & \text{gdy } z = 0, \\ e_z & \text{gdy } z \neq 0 \end{cases}$$

w sensie zbieżności $C_{\text{loc}}^1(\mathbb{R}^n; \mathbb{R}^{n-1})$, gdzie $\eta \in C^\infty(\mathbb{R}^{n-1}; \mathbb{R}^{n-1})$ jest standardowym wirowym rozwiązaniem układu Ginzburga-Landaua (4.9).

W przeciwieństwie do Twierdzenia 4.5, rozwiązanie Twierdzenia 4.6 zostało skonstruowane poprzez minimalizację pomiędzy osiowosymetrycznymi konfiguracjami włókna wirowego w kuli B_R , a następnie przejście do granicy $R \rightarrow \infty$. Dowód własności monotoniczności (ii) jest również bardziej skomplikowany, gdyż musimy zastosować metodę ruchomej płaszczyzny do rzutu y . Na koniec zwracamy również uwagę, że w Section 2 w (S6) zebraliśmy pewne ogólne wyniki dotyczące każdego rozwiązania $y : \mathbb{R}^n \rightarrow \mathbb{R}^m$ (4.39). Wyniki te mogą być przydatne do konstruowania różnych typów rozwiązań układu (4.39).

5. INFORMACJA O WYKAZYWANIU SIĘ ISTOTNĄ AKTYWNOŚCIĄ NAUKOWĄ ALBO ARTYSTYCZNĄ REALIZOWANĄ W WIĘCEJ NIŻ JEDNEJ UCZELNI, INSTYTUCJI NAUKOWEJ LUB INSTYTUCJI KULTURY, W SZCZEGÓLNOŚCI ZAGRANICZNEJ

Monografia (S7-Book) i artykuły naukowe (S8)–(S18), które nie zostały zawarte w pracy doktorskiej:

- (S7-Book) N. D. Alikakos, G. Fusco, **P. Smyrnelis**: Elliptic systems of phase transition type. *Progress in Nonlinear Differential Equations and Their Applications* Vol. **91**, Springer-Birkhäuser (2018)
- (S8) P. Bates, G. Fusco, **P. Smyrnelis**: Entire solutions with six-fold junctions to elliptic gradient systems with triangle symmetry. *Advanced Nonlinear Studies* **13** No. 1 (2013), pp. 1–11
- (S9) **P. Smyrnelis**: Gradient estimates for semilinear elliptic systems and other related results. *Proceedings of the Royal Society of Edinburgh, Section A* **145** No. 6 (2015) pp. 1313–1330
- (S10) P. Antonopoulos, **P. Smyrnelis**: A maximum principle for the system $\Delta u - \nabla W(u) = 0$. *C. R. Acad. Sci. Paris, Ser. I* **354** (2016) pp. 595–600
- (S11) I. Chenn, **P. Smyrnelis**, I. M. Sigal: On Abrikosov lattice solutions of the Ginzburg-Landau equations. *Mathematical Physics, Analysis and Geometry* (2018) **21**:7, DOI: 10.1007/s11040-017-9257-x
- (S12) M. G. Clerc, M. Kowalczyk, **P. Smyrnelis**: Symmetry breaking and restoration in the Ginzburg-Landau model of nematic liquid crystals. *Journal of Nonlinear Science* (2018) **28** No. 3, pp. 1079–1107
- (S13) M. G. Clerc, M. Kowalczyk, **P. Smyrnelis**: Gradient theory of domain walls in thin, nematic liquid crystals films. *Communications in Contemporary Mathematics*, **22** No. 7 (2020) 1950063 (27 pages)
- (S14) E. Calisto, M. G. Clerc, M. Kowalczyk, **P. Smyrnelis**: On the origin of the optical vortex lattices in nematic liquid crystal light valve. *Optics Letters* **44**, No. 12 (2019) 2947–2950
- (S15) **P. Smyrnelis**: Connecting orbits in Hilbert spaces and applications to P.D.E. *Comm. Pure Appl. Anal.* **19**, No. 5 (May 2020) 2797–2818, doi: 10.3934/cpaa.2020122
- (S16) **P. Smyrnelis**: Double layered solutions to the extended Fisher-Kolmogorov P.D.E. *Nonlinear Differ. Equ. Appl.*, **28**:48, 22 pages (2021)

(S17) **P. Smyrnelis**: A comparison principle for vector valued minimizers of semilinear elliptic energy, with application to dead cores. *Indiana Univ. Math. J.*, Vol. **70**, No. 5, 1745–1768 (2021)

(S18) J. Jendrej, **P. Smyrnelis**: Nondegeneracy of heteroclinic orbits for a class of potentials on the plane. *Applied Mathematics Letters*, **124** (2022) 107681 <https://doi.org/10.1016/j.aml.2021.107681>

Artykuły naukowe (S19)–(S20) które zostały zawarte w pracy doktorskiej:

(S19) N. D. Alikakos, **P. Smyrnelis**: Existence of lattice solutions to semilinear elliptic systems with periodic potential. *Electr. J. Diff. Equations* **2012** No. 15 (2012) pp. 1–15

(S20) **P. Smyrnelis**: The harmonic map problem on the plane with mixed boundary conditions. *Proceedings of the American Mathematical Society* **143** No. 3 (2015) pp. 1299–1313

Ponieważ (S8) i (S19) zostały już opisane w sekcji 4.5.1, omówię pozostałe prace.

5.1. Monografia: (S7-Book).

Książka ta skupia się na wektorowym układzie Allena-Cahna, który modeluje współistnienie trzech lub więcej faz i jest związany z kompleksami Plateau – nieorientowanymi obiektami o strukturze warstwowej. Minimalne rozwiązania równania wektorowego wykazują analogiczną strukturę nieobecną w skalarnym równaniu Allena-Cahna (4.4), które modeluje współistnienie dwóch faz i jest związane z minimalnymi powierzchniami. Hipoteza De Giorgi z 1978 r. [15] dotycząca problemu skalarnego została rozstrzygnięta w serii artykułów: Ghoussoub i Gui (2D) [21], Ambrosio i Cabré (3D) [7], Savin (aż do 8D) [39] oraz del Pino, Kowalczyk i Wei (kontrprzykład dla 9D i wyższych wymiarów [17]). Książka na różne sposoby rozszerza oszacowania gęstości Caffarelliego-Córdoby [13], które odegrały główną rolę w dowodzie Savina. Wprowadza również alternatywną metodę uzyskiwania oszacowań punktowych.

Kluczowe cechy i tematy tego samodzielnego, systematycznego wykładu obejmują:

- Badanie struktury rozwiązań minimalnych w klasie ekwiwariantów, (a) dla ogólnych grup punktowych i (b) dla ogólnych dyskretnych grup odbić, dowodząc w ten sposób istnienie nieznanych wcześniej rozwiązań kratowych.
- Materiał wstępny rozpoczynający się od tensora naprężenia-energii, za pomocą którego rozwijane są formuły monotoniczności, tożsamości hamiltonowskie i Pohożajewa, w tym samodzielnny wykład istnienia fal stojących i biegnących.
- Narzędzia pozwalające na wyprowadzenie ogólnych własności punktów minimalnych bez jakichkolwiek założeń symetrii, takich jak zasada maksimum czy gęstość i oszacowania punktowe.
- Zastosowanie ogólnych narzędzi do rozwiązań ekwiwariantnych generujących oszacowania wykładnicze, twierdzenia o sztywności i wyniki stratyfikacji.

Warto wspomnieć, że Chapter 7 opiera się na (S4), a z kolei Chapter 2 wiele czerpie z (S1). Fragmenty (S9) i (S10) zostały również wykorzystane w Chapter 3 i Chapter 4, odpowiednio.

5.2. Orbity łączące w przestrzeniach Hilberta i ich zastosowania w r.r.cz.: (S15)–(S16).

W (S15) pokazuję istnienie orbit heteroklinicznych dla potencjałów *półciągłych z dołu* zdefiniowanych w *przestrzeniach Hilberta*. Wynik ten jest udoskonaleniem moich poprzednich prac (S1)–(S2), ale opiera się na wprowadzonych tam technikach (por. w szczególności Lemma 2.4 (S2)). Opracowuję również metodę analizy funkcjonalnej, która ma zastosowania w rozwiązywaniu problemów r.r.cz. dotyczących przejść fazowych. Idea jest taka, aby spojrzeć na rozwiązanie r.r.cz. jako odwzorowanie przyjmujące wartości w przestrzeni funkcji i zredukować początkowe r.r.cz. do problemu r.r.z. (np. do heteroklinicznej orbity w przestrzeni Hilberta). Jako pierwsze zastosowanie przedstawiam w bardziej ogólnym ujęciu nową konstrukcję heteroklinicznych warstw podwójnych

(początkowo przedstawioną przez Schatzmana [41], por. (4.11)). Z kolei w **(S16)** stosuję poprzednią metodę do konstruowania warstwowych rozwiązań rozszerzonego r.r.cz. Fishera-Kolmogorowa.

$$(5.1) \quad \Delta^2 u(t, x) - \beta \Delta u(t, x) + \nabla W(u(t, x)) = 0, \quad u : \mathbb{R}^2 \rightarrow \mathbb{R}^m \quad m \geq 2, \quad \beta > 0, \quad (t, x) \in \mathbb{R}^2,$$

gdzie $W \in C^2(\mathbb{R}^m, [0, \infty))$ jest podwójną studnią potencjału. Wynik ten dostarcza pierwszych przykładów dwuwymiarowych rozwiązań minimalnych układu (4.7).

5.3. Niezdegenerowanie orbit heteroklinicznych: **(S18)**.

W przypadku skalarnym niezdegenerowanie³ orbit heteroklinicznych jest dobrze znaną własnością, powszechnie stosowaną w problemach dotyczących nieliniowych r.r.cz. eliptycznych, parabolicznych lub hiperbolicznych. Z kolei Schatzman [41] udowodnił, że w przypadku wektorowym założenie to jest generyczne, w tym sensie, że dla każdego potencjału $W : \mathbb{R}^m \rightarrow [0, \infty)$, $m \geq 2$, istnieje dowolnie mała perturbacja potencjału W taka, że dla nowego potencjału minimalne orbity heterokliniczne są niezdegenerowane. Jednakże, z tego co wiemy, nietrywialne, bezpośrednie przykłady takich potencjałów nie są znane. W tej pracy dowodzimy niezdegenerowania orbit heteroklinicznych dla potencjałów $W : \mathbb{R}^2 \rightarrow [0, \infty)$, które można zapisać jako $W(z) = |f(z)|^2$, gdzie $f : \mathbb{C} \rightarrow \mathbb{C}$ jest funkcją holomorficzną. Dowód tego wyniku opiera się na metodzie analizy zespolonej wprowadzonej przez Alikakosa, Betelú i Chena [3].

5.4. Oszacowanie gradientu dla wszystkich rozwiązań semiliniowego układu eliptycznego: **(S9)**.

Ograniczone rozwiązania $u \in C^2(\mathbb{R}^n, \mathbb{R})$ skalarnego równania

$$(5.2) \quad \Delta u = W'(u), \quad \text{gdzie } W \in C^2(\mathbb{R}; [0, \infty))$$

posiadają oszacowanie na gradient

$$|\nabla u|^2 \leq 2W(u),$$

które nazywane jest oszacowaniem Modiki [28]. Ta niezwykła własność, która jest kluczowa dla wszystkich rozwiązań, implikuje również twierdzenie Liouville'a:

jeśli $W(u(x_0)) = 0$ zachodzi dla pewnego $x_0 \in \mathbb{R}^n$, to rozwiązanie u jest stałe.

W **(S9)** badam poprawność oszacowania Modiki dla rozwiązań ograniczonych $u : \mathbb{R}^n \rightarrow \mathbb{R}^m$ układu $\Delta u = \nabla W(u)$, gdzie $W : \mathbb{R}^m \rightarrow [0, \infty)$. Konstrukcja nowego rodzaju orbity okresowej osiągającej minima potencjału przy niezerowej prędkości zaprzecza twierdzeniu Liouville'a, a także pokazuje, że żadne oszacowanie Modiki w ogólności nie obowiązuje dla układu $\Delta u = \nabla W(u)$ (por. Section 2 w **(S9)**). Jednak w kilku ważnych szczególnych przypadkach podaję namiastkę oszacowania Modiki. Na przykład, dla potencjału Ginzburga-Landau $W(u) = \frac{1}{4}(1 - |u|^2)^2$ udowadniam nierówność

$$|\nabla u|^2 \leq 2\sqrt{W(u)}$$

zachodzącą dla wszystkich ograniczonych rozwiązań (4.9) (por. Theorem 3.5 z **(S9)**). Metoda zastosowana w **(S9)** pochodzi z [12]. Opiera się na wykorzystaniu tak zwanych P -funkcji (por. [45]).

³por. definicja w sekcji 4.1.2

5.5. Zasady maksimum i porównawcza dla punktów minimalnych semiliniowej eliptycznej energii: (S10) i (S17).

W obu artykułach rozważamy punkty minimalne funkcjonału $E(u) = \int_{\Omega} (\frac{1}{2} |\nabla u|^2 + W(u))$, gdzie $\Omega \subset \mathbb{R}^n$, $u \in H^1(\Omega; \mathbb{R}^m) \cap L^\infty(\Omega; \mathbb{R}^m)$ i $W : \mathbb{R}^m \rightarrow [0, \infty)$.

W (S17) przedstawiamy zasadę porównawczą zapewniającą ograniczenia z góry dla modułów tych punktów minimalnych. Nasze założenia są bardzo łagodne: zakładamy, że potencjał jest półciągły z dołu i spełnia warunek monotoniczności promieni emanujących z jego globalnego minimum a . W konsekwencji zadajemy warunek wystarczający na istnienie martwych obszarów rdzenia, gdzie punkt minimalny jest równy a . Wyniki te rozszerzają i dostarczają wariacyjnych wersji kilku klasycznych twierdzeń dobrze znanych ze skalarnych semiliniowych eliptycznych rozwiązań r.r.cz. (por. [34, 35, 36]).

Z kolei, w (S10) uogólniamy zasadę maksimum Alikakosa i Fusco [6] poprzez rozważenie potencjałów zanikających na brzegu zbioru wypukłego K , ponieważ przypadek, w którym K pokrywa się z punktem został zbadany w [6].

5.6. Teoria oddziaływania światła z materią w ciekłych kryształach: (S12)–(S14).

Ta seria prac jest kontynuacją (S3). W (S12) badamy jakościowe własności globalnych punktów minimalnych energii Ginzburga-Landaua, które opisują oddziaływanie światła z materią w teorii ciekłych kryształów nematycznych. Model ten zależy od dwóch parametrów: $\epsilon > 0$, który jest mały i reprezentuje skalę koherencji układu oraz $a \geq 0$, który reprezentuje natężenie zastosowanego światła laserowego. W szczególności interesuje nas zjawisko łamania symetrii, przy zmieniających się a i ϵ . Pokazujemy, że gdy $a = 0$, to globalny punkt minimalny jest radialnie symetryczny i jednoznaczny, i jego symetria jest natychmiast łamana gdy $a > 0$, a następnie przywracana dla wystarczająco dużych wartości a . Łamanie symetrii wiąże się z obecnością nowego typu defektu topologicznego, który nazwaliśmy wirem cieniowym. Scenariusz łamania symetrii jest wyraźnym potwierdzeniem wyników eksperymentalnych i numerycznych uzyskanych wcześniej w [8].

W (S13) opisujemy ściany domeny pojawiające się w cienkiej, nematycznej próbce ciekłokrystalicznej poddanej działaniu pola zewnętrznego o natężeniu zbliżonym do progu przejścia Fréedericksza. Wykorzystując dostosowaną do tej sytuacji gradientową teorię przejścia fazowego pokazujemy, że w zależności od parametrów układu ściany domeny występują w obszarze bistabilnym lub na granicy obszaru bistabilnego i monostabilnego.

Wreszcie, w (S14) przy pomocy równania amplitudy opisującego zawory optyczne w pobliżu przejścia Fréedericksza, analitycznie charakteryzujemy tworzące przez nie wiry i kraty. Symulacje numeryczne równania amplitudy, rozwiązania analityczne i obserwacje eksperymentalne wykazują dobrą zgodność.

5.7. Równania nadprzewodnictwa Ginzburga-Landaua: (S11).

Udowadniamy istnienie kratowych rozwiązań wirowych Abrikosowa równań nadprzewodnictwa Ginzburga-Landaua, z wielokrotnymi kwantami strumienia magnetycznego na komórkę podstawową. Nakładając odpowiednią symetrię, konstruujemy gałąź rozwiązania w otoczeniu gałęzi rozwiązań trywialnych odpowiadających stałemu polu magnetycznemu. Rozwiązania te są jednoznaczne w klasie symetrii. Ponownie przyglądamy się również dowodom istnienia krat wirowych Abrikosowa, usprawniając niektóre argumenty i dostarczając pewnych istotnych szczegółów, których brakowało we wcześniejszych dowodach dla pojedynczego kwantu strumienia magnetycznego na komórkę podstawową (por. [47, 48]).

5.8. Odwzorowania harmoniczne: (S20).

Mieszane warunki brzegowe pojawiają się w problemach dotyczących symetrii, a także są spełnione przez odwzorowania konforemne. Implikują one w szczególności warunek:

$$(5.3) \quad \frac{\partial u}{\partial n}(x) \perp \frac{\partial u}{\partial t}(x), \quad \forall x \in \partial\Omega, \quad \forall t \in T_x(\partial\Omega), \quad n \perp T_x(\partial\Omega), \quad \text{gdzie } u : \mathbb{R}^n \supset \Omega \rightarrow \mathbb{R}^m.$$

W **(S20)** udowadniam istnienie jednoznacznej funkcji harmonicznej spełniającej mieszane warunki brzegowe, gdy dziedzina i przeciwdziedzina są dwoma wielokątami płaszczyzny o tej samej liczbie boków. Odwzorowanie to przekształca wierzchołki S na wierzchołki Σ i jest konforemne, gdy S i Σ są trójkątami. W przypadku wielokątów ogólnie, można je traktować jako odpowiednik odwzorowania dostarczonego przez twierdzenie Riemanna o odwzorowaniu. Ponadto badam również mieszane warunki brzegowe w gładkich obszarach planarnych. W Theorem 6.2 z **(S20)** udowadniam propagację konforemnych warunków brzegowych:

Twierdzenie 5.1. *Niech $\Omega \subset \mathbb{R}^2$ będzie gładkim obszarem Jordana i niech $u : \Omega \rightarrow \mathbb{R}^m$ będzie odwzorowaniem harmonicznym spełniającym (5.3). Wówczas u jest konforemne.*

6. INFORMACJA O OSIĄGNIĘCIACH DYDAKTYCZNYCH, ORGANIZACYJNYCH ORAZ POPULARYZUJĄCYCH NAUKĘ LUB SZTUKĘ

6.0.1. *Nauczanie.*

- Baskijskie Centrum Matematyki Stosowanej (Hiszpania), Styczeń 2020

Kurs doktorancki na temat modeli przejść fazowych drugiego rzędu (z udziałem zaproszonych studentów zagranicznych). Średni poziom zadowolenia uczniów: 9/10.

- Uniwersytet Chile, Zima 2017

Fourier Analysis (kurs licencjacki)

- Uniwersytet w Atenach (Grecja), Październik 2013–Czerwiec 2014

Nonlinear Analysis and Calculus of Variations (kurs podyplomowy), Methods of Applied Mathematics (kurs podyplomowy) oraz Multivariable Calculus (kurs licencjacki).

- Instytut Technologiczny w Pireusie (Grecja), Październik 2008–Czerwiec 2011

Linear Algebra i Computational Mathematics (kursy licencjackie) na Wydziale Inżynierii Elektrycznej.

- Filmy nagrane na zajęcia online Uniwersytetu w Atenach (Multivariable Calculus):

dostępne pod linkiem <http://delos.uoa.gr>

6.0.2. *Działalność organizacyjna.*

- Współorganizacja wraz z prof. Alikakosem warsztatów „Workshop on Reaction-Diffusion Systems with Gradient Structure”, które odbyły się w Atenach (Grecja) w marcu 18–20, 2013.

6.0.3. *Popularyzacja nauki.*

- Artykuł o tematyce ogólnej:

P. Bates, G. Fusco, **P. Smyrnelis**: Multiphase stationary solutions to the vector Allen-Cahn equation. SIAM Dynamical Systems Web Magazine, wydanie październikowe 2018

został opublikowany w celu udostępnienia **(S4)** szerszej publiczności.

- Podobnie, referat konferencyjny

P. Smyrnelis: Phase transition and Ginzburg-Landau models occurring in the physics of liquid crystals. Materiały 16-stej „Panhellenic Conference on Analysis” 97–111, Redagujący: M. Anoussis, V. Felouzis, A. Tsolomitis, Uniwersytet Egejski, Samos, Grecja (2018)

został napisany w celu udostępnienia moich prac **(S3)**, **(S5)**, **(S12)** i **(S13)** szerszej publiczności.

LITERATURA

- [1] Alama, S., Bronsard, L., Gui, C.: Stationary layered solutions in \mathbb{R}^2 for an Allen–Cahn system with multiple well potential. *Calc. Var.* **5** No. 4, 359–390 (1997)
- [2] Alikakos, N. D.: A new proof for the existence of an equivariant entire solution connecting the minima of the potential for the system $\Delta u - W_u(u) = 0$. *Comm. Partial Diff. Eqs* **37** No. 12, 2093–2115 (2012)
- [3] Alikakos, N. D., Betelú, S. I., Chen, X.: Explicit stationary solutions in multiple well dynamics and non-uniqueness of interfacial energies. *Eur. J. Appl. Math.* **17**, 525–556 (2006)
- [4] Alikakos, N. D., Fusco, G.: On the connection problem for potentials with several global minima. *Indiana Univ. Math. J.* **57**, 1871–1906 (2008)
- [5] Alikakos, N. D., Fusco, G.: Entire solutions to equivariant elliptic systems with variational structure. *Arch. Rat. Mech. Anal.* **202** No. 2, 567–597 (2011)
- [6] Alikakos, N. D., Fusco, G.: A maximum principle for systems with variational structure and an application to standing waves, *J. Eur. Math. Soc.* **17** (7), 1547–1567 (2015)
- [7] Ambrosio, L., Cabré, X.: Entire solutions of semilinear elliptic equations in \mathbb{R}^3 and a conjecture of De Giorgi. *J. Am. Math. Soc.* **13**, 725–739 (2000)
- [8] Barboza, R., Bortolozzo, U., Dávila, J. D., Kowalczyk, M., Residori, S., Vidal Henriquez, E.: Light-matter interaction induces a shadow vortex, *Phys. Rev. E* **93** (2016), no. 5, 050201.
- [9] Bethuel, F., Brezis, H., Helein, F.: Ginzburg-Landau vortices. *Progress in Nonlinear Differential Equations and Their Appl.* **13**, Birkhäuser, Basel and Boston (1994)
- [10] Bonheure, D., Sanchez, L.: Heteroclinic orbits for some classes of second and fourth order differential equations. *Handbook of differential equations: ordinary differential equations*, Vol. III, 103–202, edited by A. Cañada, P. Drábek, A. Fonda, Elsevier/North-Holland, Amsterdam, (2006)
- [11] Bronsard, L., Gui, C., Schatzman, M.: A three-layered minimizer in \mathbb{R}^2 for a variational problem with a symmetric three-well potential. *Comm. Pure. Appl. Math.* **49** No. 7, 677–715 (1996)
- [12] Caffarelli, L., Garofalo, N., Segala, F.: A Gradient bound for entire solutions of quasi-linear equations and its consequences. *Communications on Pure and Applied Mathematics* **47**, No. 11, 1457–1473 (1994)
- [13] Caffarelli, L., Córdoba, A.: Uniform convergence of a singular perturbation problem. *Comm. Pure Appl. Math.* **48**, 1–12 (1995)
- [14] Dang, H., Fife, P. C., Peletier, L. A.: Saddle solutions of the bistable diffusion equation. *Z. Angew. Math. Phys.*, **43** (6), 984–998 (1992)
- [15] De Giorgi, E.: Convergence problems for functionals and operators. In: *Proceedings of the International Meeting on Recent Methods in Nonlinear Analysis*, Rome (1978), 131–188. Pitagora, Bologna (1979)
- [16] Dee, G. T., van Saarloos, W.: Bistable systems with propagating fronts leading to pattern formation. *Phys. Rev. Lett.* **60**, 2641–2644 (1988)
- [17] del Pino, M., Kowalczyk, M., Wei, J.: On De Giorgi’s conjecture in dimension $N \geq 9$. *Ann Math* **174**, 1485–1569 (2011)
- [18] Farina, A., Valdinoci, E.: The state of art for a conjecture of De Giorgi and related questions. *Reaction-diffusion systems and viscosity solutions*. World Scientific, Singapore (2008)
- [19] Fusco, G.: Equivariant entire solutions to the elliptic system $\Delta u - W_u(u) = 0$ for general G -invariant potentials. *Calc. Var. Part. Diff. Eqs.* **49** No. 3, 963–985 (2014)
- [20] Gidas, B., Wei Ming Ni, Nirenberg, L.: Symmetry and related properties via the maximum principle. *Comm. Math. Phys.* **68** (3): 209–243 (1979).
- [21] Ghoussoub, N., Gui, C.: On a conjecture of De Giorgi and some related problems. *Math. Ann.* **311**, 481–491 (1998)
- [22] Ginzburg, V., Landau, L.: On the theory of superconductivity, *Zh. Eksper. Teoret. Fiz.* **20** (1950), 1064–1082; [English translation in *Men of Physics: L. D. Landau, I (D. ter Haar, ed.)* pp. 138–167, Pergamon, New York and Oxford, 1965].
- [23] Gui, C., Schatzman, M.: Symmetric quadruple phase transitions. *Ind. Univ. Math. J.* **57** No. 2, 781–836 (2008)
- [24] Hastings, S. P., McLeod, J. B.: A boundary value problem associated with the second Painlevé transcendent and the Korteweg-de Vries equation. *Arch. Rational Mech. Anal.* **73** (1980), no. 1, 31–51.
- [25] Hervé, R. M., Hervé, M.: Étude qualitative des solutions réelles d’une équation différentielle liée à l’équation de Ginzburg-Landau. *Ann. Inst. H. Poincaré Anal. Non linéaire*, **11** 427–440 (1994)
- [26] Kalies, W. D., Van der Vorst, R. C. A. M.: Multitransition homoclinic and heteroclinic solutions of the extended Fisher-Kolmogorov equation. *J. Differential Equations* **131** No. 2, 209–228 (1996)
- [27] Mironescu, P.: Les minimiseurs locaux pour l’équation de Ginzburg-Landau sont à symétrie radiale, *C. R. Math. Acad. Sci. Paris* **323, Série I** (1996), 593–598.

- [28] Modica, L.: A Gradient bound and a Liouville Theorem for nonlinear Poisson equations. *Communications on Pure and Applied Mathematics* **38**, No. 5, 679–684 (1985)
- [29] Pacard, F., Riviere, T.: *Linear and Nonlinear Aspects of Vortices, The Ginzburg-Landau Model*. Progress in Nonlinear Differential Equations and Their Appl. **39**, Birkhäuser, Boston (2000)
- [30] Peletier, L. A., Troy, W. C., Van der Vorst, R. C. A. M.: Stationary solutions of a fourth-order nonlinear diffusion equation. *Differentsialnye Uravneniya* **31** No. 2, 327–337 (1995)
- [31] Peletier, L. A., Troy, W. C.: *Spatial patterns, higher order models in physics and mechanics*. **45**, Birkhäuser, Boston, MA (2001)
- [32] Pisante, A.: Two results on the equivariant Ginzburg-Landau vortex in arbitrary dimension. *Journal of Functional Analysis* **260** 892–905 (2011)
- [33] Porter, D. A., Easterling, K. E.: *Phase transformations in metals and alloys*. Chapman and Hall, Second Edition (1996)
- [34] Pucci, P., Serrin, J.: The strong maximum principle revisited. *J. Differential Equations* **196**, 1–66 (2004)
- [35] Pucci, P., Serrin, J.: Dead cores and bursts for quasilinear singular elliptic equations. *SIAM J. Math. Anal.* **38**, No. 1 259–278 (2006)
- [36] Pucci, P., Serrin, J.: *The maximum principle*. Progress in Nonlinear Differential Equations and Their Applications **73**, Springer-Birkhäuser (2007)
- [37] Rabinowitz, P. H.: Periodic and heteroclinic orbits for a periodic hamiltonian system. *Ann. Inst. Henri Poincaré*, **6** No. 5, 331–346 (1989)
- [38] Sandier, E., Serfaty, S.: Vortices in the magnetic Ginzburg-Landau model. *Progress in Nonlinear Differential Equations and their Applications* **70**, Birkhäuser (2007)
- [39] Savin, O.: Regularity of flat level sets in phase transitions, *Ann. of Math. (2)* **169** (2009), no. 1, 41–78.
- [40] Savin, O.: Minimal Surfaces and Minimizers of the Ginzburg Landau energy. *Cont. Math. Mech. Analysis AMS* **526**, 43–58 (2010)
- [41] Schatzman, M.: Asymmetric heteroclinic double layers. *Control Optim. Calc. Var.* **8** (A tribute to J. L. Lions), 965–1005 (electronic) (2002)
- [42] Shafrir, I.: Remarks on solutions of $-\Delta u = (1 - |u|^2)u$ in \mathbb{R}^2 , *C. R. Acad. Sci. Paris Sér. I Math.* **318** (1994), no. 4, 327–331. MR 1267609
- [43] Smyrnelis, P.: Solutions to elliptic systems with mixed boundary conditions. Phd thesis, University of Thessaloniki, 2012.
- [44] Sourdis, C.: The heteroclinic connection problem for general double-well potentials. *Mediterr. J. Math.* **13**, 4693–4710 (2016)
- [45] Sperb, R.: *Maximum principles and their applications*. Mathematics in Science and Engineering, **157**, Academic Press, New York, 1981
- [46] Sternberg, P.: Vector-valued local minimizers of nonconvex variational problems. *Rocky Mountain J. Math.* **21**, 799–807 (1991)
- [47] Tzaneteas, T., Sigal, I. M.: Abrikosov lattice solutions of the Ginzburg-Landau equations. *Contem. Math.* **535**, 195–213 (2011)
- [48] Tzaneteas, T., Sigal, I. M.: On Abrikosov lattice solutions of the Ginzburg-Landau equations. *Math. Model. Nat. Phenom.* **8**(5), 190–205 (2013)